

T-61.3010 Digitaalinen signaalinkäsittely ja suodatus

2. välikoe, pe 13.3.2009 klo 9-12, A.

1. vk on oikeus tehdä vain kerran joko 7.3. tai 13.3.

Välikokeessa ei saa olla mitään omia laskimia eikä taulukkokirjoja. Välikokeessa jaetaan kurssin taulukkomoniste sekä palautuslomake tehtävää 1 varten.

Palautusohjeet:

- tehtävän 1 ("rasti ruutuun") lomake omaan pinoon, täytettävä vähintään opiskelijanumero
- tehtävän 2 esseen vastauskonsepti omaan pinoon, täytettävä vähintään konseptin ylälaidan tiedot
- suttupaperit omaan pinoon
- tehtäväpaperin ja taulukkomonisteen voi pitää itsellään

Tehtävä 3 on taustatietokysely ja palaute, joka täytetään nettilomakkeella la 7.3. - ma 23.3.2009.

1) (0-12 p) Monivalinta. Väittämissä on 1-4 oikeaa vastausta, mutta valitse korkeintaan yksi ja vain yksi. Täytä erillisille lomakkeelle, joka luetaan optisesti.

Oikea valinta +1 p, väärä valinta -0.5 p, ei valintaa 0 p. Perusteluja ei tarvita. Tehtävän maksimipistemäärä on 12 ja minimimäärä 0.

1.1 Tutkitaan sekvenssiä $x[n] = x_1[n] + x_2[n] + x_3[n]$, jossa osasekvenssien perusjaksot ovat $N_1 = 4$, $N_2 = 8$ ja $N_3 = 20$. Mitä voidaan sanoa sekvenssin $x[n]$ jaksollisuudesta?

- (A) Perusjaksoa N_0 ei ole olemassa
- (B) Perusjakso on $N_0 = 20$
- (C) Normalisoitu peruskulmataajuus on $\omega_0 = 2\pi/N_0 = \pi/20$
- (D) Sekvenssi on jaksollinen jaksolla $N = 4 \cdot 8 \cdot 20 = 640$

1.2 Lasketaan lukujonojen $x[n] = \delta[n+1] + \delta[n] + 2\delta[n-1] = \{1, \underline{1}, 2\}$ ja $h[n] = \delta[n+1] - \delta[n] = \{1, \underline{-1}\}$ lineaarinen konvoluutio $y[n] = h[n] \otimes x[n]$. Alleviivaus osoittaa origon paikkaa.

- (A) $y[n] = 0$, kun $n < 0$
- (B) Lukujonon $y[n]$ ensimmäinen vasemmalta nolasta poikkeava arvo löytyy kohdasta $n = 1$
- (C) $y[0] = -1$
- (D) $y[0] = 1$

1.3 Lasketaan dekonvoluutiota, kun $y[n] = h[n] \otimes x[n]$ ja tiedetään, että impulssivaste $h[n] = \{1, \underline{-2}\}$ ja $y[n] = \{2, 0, 0, 0, -d\}$, joissa alleviivaus osoittaa origon paikkaa. Tällöin syöte $x[n]$ on muotoa

- (A) $x[n] = 2 \cdot \delta[n+1] - d \cdot \delta[n-3]$
- (B) $x[n] = 2 \cdot \delta[n+1] + a \cdot \delta[n] + b \cdot \delta[n-1] + c \cdot \delta[n-2] + d \cdot \delta[n-3]$
- (C) $x[n] = 2 \cdot \delta[n-1] + c \cdot \delta[n-5]$
- (D) $x[n] = 2 \cdot \delta[n-1] + a \cdot \delta[n-2] + b \cdot \delta[n-3] + c \cdot \delta[n-4]$

joissa $\{a, b, c, d\} \in \mathbb{R}$ ja nolasta poikkeavia.

1.4 LTI-järjestelmää kuvataan differenssiyhtälöllä $y[n] - 0.1y[n-1] + 0.2y[n-2] = 0.5x[n] + 0.5x[n-2]$

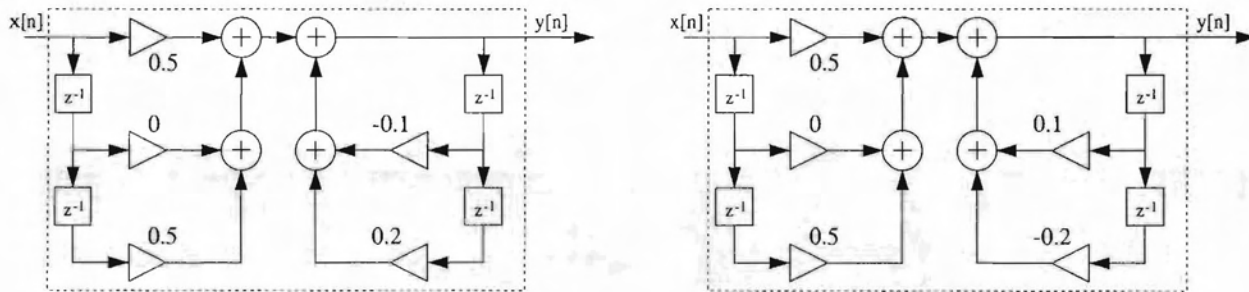
- (A) Järjestelmää vastaava piirrositys on kuvassa 1(a)
- (B) Järjestelmää vastaava piirrositys on kuvassa 1(b)
- (C) Suodin on FIR-tyyppinen
- (D) Suodin ei ole kausaalinen

1.5 Suotimen magnitudivaste on

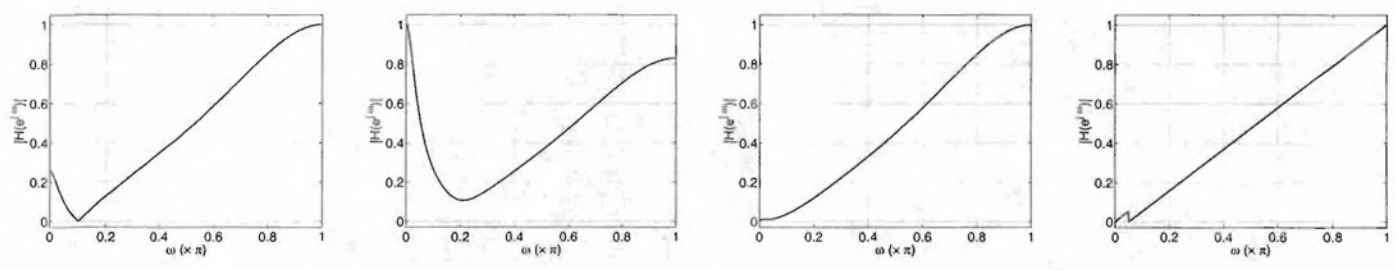
$$|H(e^{j\omega})| = K \cdot \frac{|1 - 0.3e^{-j\omega}| \cdot |1 + e^{-j\omega}|}{|1 - 0.9je^{-j\omega}| \cdot |1 + 0.9je^{-j\omega}|}$$

- (A) $|H(e^{j\omega})| = 0$, kun $\omega = 0$
- (B) $|H(e^{j\omega})| \rightarrow \infty$, kun $\omega \rightarrow 0.9$
- (C) Suotimen impulssivaste $h[n]$ on symmetrinen
- (D) Jos näytteenottotaajuutena on $f_T = 1100$ Hz, suotimen maksimivalvistus saadaan noin taajuuksella $f \approx 11$ kHz

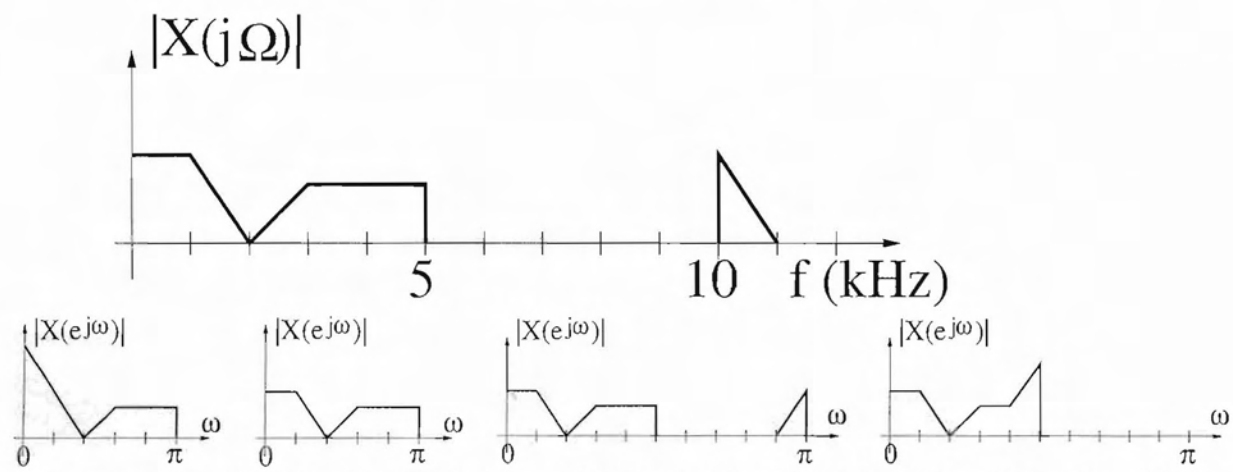
- 1.6 LTI-suotimen differenssiyhtälö on $y[n] = x[n] - 1.8x[n-1] + 0.82x[n-2] + 0.2y[n-1] + 0.15y[n-2]$. Suotimen magnitudivaste $|H(e^{j\omega})|$ skaalattuna välille $0 \dots 1$ on
- (A) kuvassa 2(a)
 - (B) kuvassa 2(b)
 - (C) kuvassa 2(c)
 - (D) kuvassa 2(d)
- 1.7 Stabiilin digitaalisen kuudennen asteen LTI-suotimen, jonka impulssivasteen $h[n]$ kertoimet ovat reaalisia,
- (A) taajuusvaste $H(e^{j\omega})$ on jaksollinen 6π :n välein: $H(e^{j(\omega_0)}) = H(e^{j(6\pi+\omega_0)})$ kaikille ω_0
 - (B) vaihevaste $\angle H(e^{j\omega})$ on symmetrinen y-akselin suhteen: $\angle H(e^{j(-\omega_0)}) = \angle H(e^{j(+\omega_0)})$ kaikille ω_0
 - (C) ryhmäviive $\tau(\omega) = 6$ kaikille ω_0
 - (D) napanollakuvion kaikki kuusi napaa ovat aina yksikköympyrällä
- 1.8 Katso jatkuva-aikaisen reaalisen signaalin spektriä $|X(j\Omega)|$ kuvan 3 ylärivillä. Näytteistetään taaajuudella $f_s = 10$ kHz. Sekvenssin $x[n]$ spektri on kuvan 3 alarivin
- (A) (a)
 - (B) (b)
 - (C) (c)
 - (D) (d)
- 1.9 Kuvassa 4 on kuvakaappaus Audacity-ohjelmasta, jossa analysoidaan ääninäytettä välillä noin 20.40...21.30 s. Signaalin näytteenottotaajuus on $f_T = 22050$ Hz. Lisäksi maalatusta noin 50 ms alueesta on laskettu spektriestimaatti.
- (A) Ääninäytteessä sanotaan: "I love DSP"
 - (B) Ääninäyte edustaa laajakaistaista kohinaa
 - (C) Ääninäyte maalatussa alueessa ei ole matemaattisen määritelmän mukaan jaksollinen ($x(t) \equiv x(t+T)$) mutta "melkein jaksollinen" ("quasi-periodic")
 - (D) Jos tiedetään, että ääni on peräisin pianosta, niin spektrin mukaisesti siinä on painettu kaldeksaa vierekäistä kosketinta samanaikaisesti
- 1.10 Olkoon tunnettuna sekvenssi $x[n] = \delta[n-K] + \delta[n-K-1]$, jossa $K \in \mathbb{Z}_+$. Lasketaan lineaarista konvoluutiota
- $$y[n] = x[n] \otimes (x[n] \otimes (x[n] \otimes (x[n] \otimes (x[n] \otimes x[n])))$$
- (A) Sekvenssin $y[n]$:n pituus on $L_y(K) = 6K - 5$
 - (B) $y[n] = 0$, kun $n \geq 7$
 - (C) Summa $\sum_{n=-\infty}^{\infty} y[n] = 64$
 - (D) Mikään ylläolevista ei pidä paikkaansa
- 1.11 Suotimen impulssivaste on $h[n] = \sum_{k=-\infty}^{\infty} (2\delta[n-2k] - 2\delta[n-2k-1])$
- (A) Suotimen napanollakuvio on kuvassa 5
 - (B) Suotimen siirtofunktio on $H(z) = \frac{2}{1-z^{-1}}$
 - (C) Suodin on epästabiili
 - (D) Suodin on alipäästösuodin
- 1.12 Tutkitaan LTI-suodinta $H(z) = 1 + 0.1z^{-10}$
- (A) Suotimen napanollakuvio on kuvassa 6(a)
 - (B) Suotimen magnitudivaste $|H(e^{j\omega})|$ kuvassa 6(b)
 - (C) Impulssivasteen $h[n]$ pituus on 10
 - (D) Suotimen ryhmäviive $\tau(\omega)$ on vakio



Kuva 1: Tehtävä 1.4, vaihtoehdot (A) ja (B) .

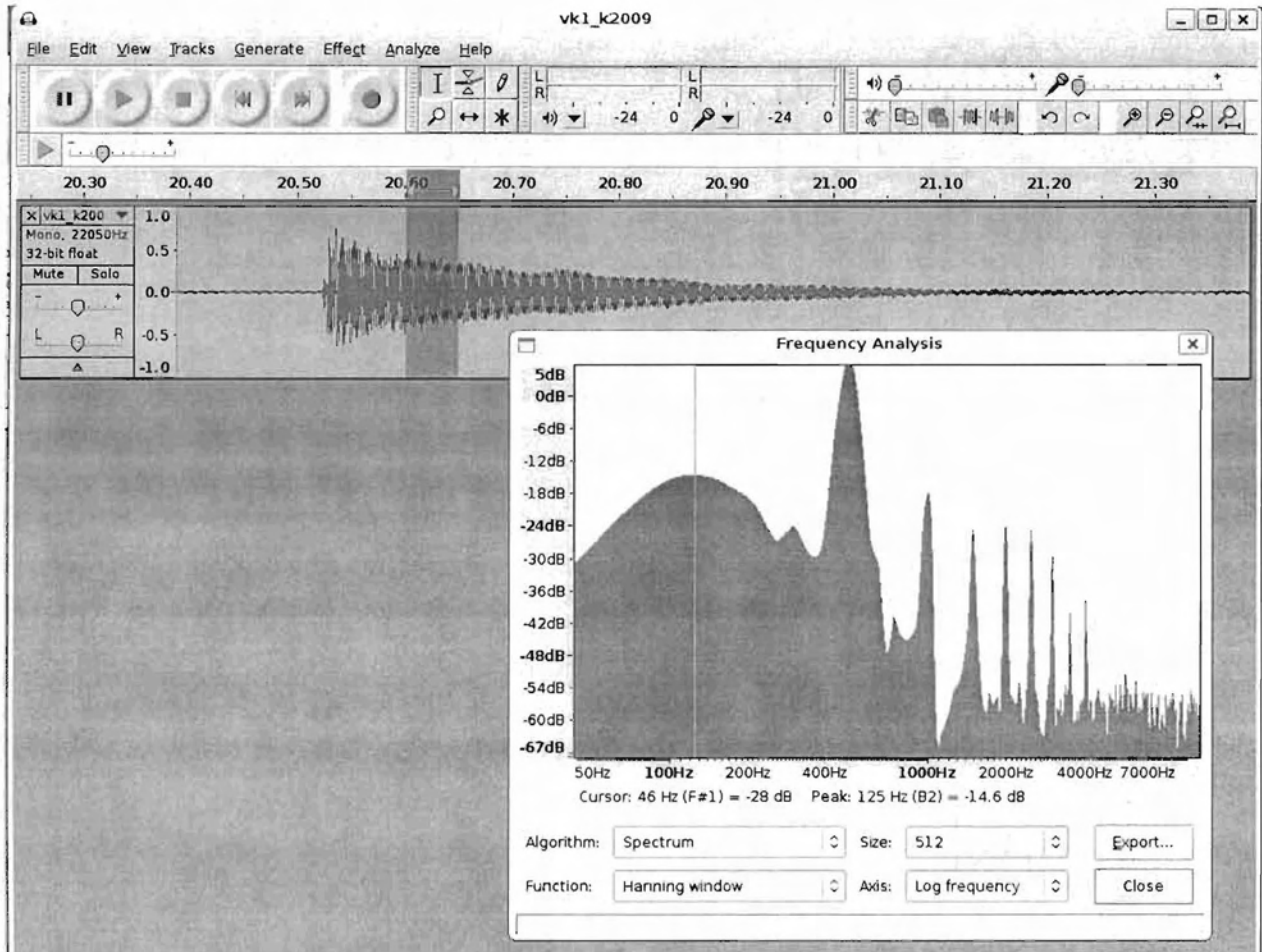


Kuva 2: Tehtävä 1.6, vaihtoehdot (A) , (B) , (C) , (D) .

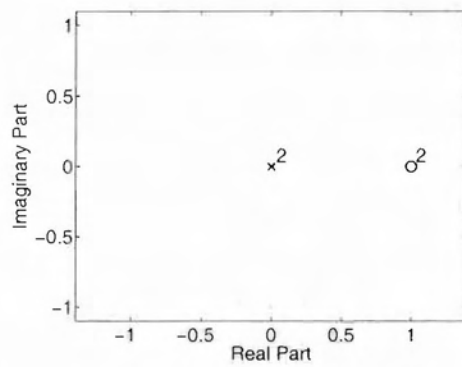


Kuva 3: Tehtävän 1.8 kuvia. Yläriivi: jatkuva $X(j\Omega)$, alarivi: vaihtoehdot (A) , (B) , (C) , (D)

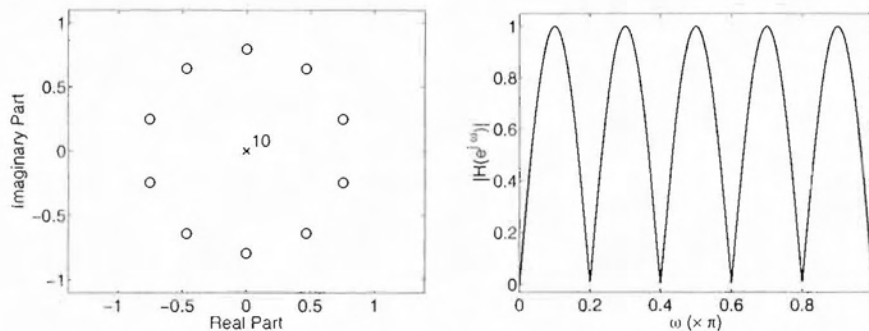
- 2) (6 p) Tämän kurssin alkupuoliskolla on tutkittu pääosin syötteitä $x[n]$, niitä muokkaavia digitaalisia LTI-järjestelmiä $h[n]$ ja vasteita $y[n]$. Näitä voidaan käsitellä sekä aika- että taajuustasossa.
Kirjoita essee aiheesta "signaalien suodattaminen digitaalisilla LTI-suotimilla".
- 3) (1 p) Taustatietojen kysely ja palaute. Nettilomake http://www.cis.hut.fi/Opinnot/T-61.3010/VK1_K2009/kyselyVK1.shtml on avoinna 23.3.2009 asti.



Kuva 4: Tehtävä 1.9, kuvakaappaus ohjelmasta Audacity.



Kuva 5: Tehtävä 1.11, vaihtochto (A) .



Kuva 6: Tehtävä 1.12, vaihtoehdot (B) ja (D) .
A B

T-61.3010 DSP Table of formulas, spring 2009

Disclaimer! Notations, e.g. ω or Ω , may vary from book to book, or from exam paper to other.

Basic math stuff

Even and odd functions:

Even $\{x(t)\} = 0.5 \cdot [x(t) + x(-t)]$

Odd $\{x(t)\} = 0.5 \cdot [x(t) - x(-t)]$

Roots of second-order polynomial:

$ax^2 + bx + c = 0, x = (-b \pm \sqrt{b^2 - 4ac}) / (2a)$

Logarithms, decibels:

$\log((A \cdot B/C)^D) = D \cdot (\log A + \log B - \log C)$

$\log_a b = \log_c b / \log_c a$

decibels: $10 \log_{10}(B/B_0), 20 \log_{10}(A/A_0)$

$10 \log_{10}(0.5) \approx -3.01 \text{ dB}, 20 \log_{10}(0.5) \approx -6.02 \text{ dB}$

$20 \log_{10}(0.1) = -20 \text{ dB}, 20 \log_{10}(0.01) = -40 \text{ dB}$

Complex numbers, radii, angles, unit circle:

$i \equiv j = \sqrt{-1} = -1/j$

$z = x + jy = r e^{j\theta}$

$r = \sqrt{x^2 + y^2}$

$\theta = \arctan(y/x) + n\pi, (n = 0, \text{ if } x > 0, n = 1, \text{ if } x < 0)$

$x = r \cos(\theta), y = r \sin(\theta)$

$e^{j\theta} = \cos(\theta) + j \sin(\theta)$ (Euler's formula)

$\cos(\theta) = (1/2) \cdot (e^{j\theta} + e^{-j\theta}), \sin(\theta) = (1/2j) \cdot (e^{j\theta} - e^{-j\theta})$

$z_1 \cdot z_2 = r_1 r_2 e^{j(\theta_1 + \theta_2)}, z_1/z_2 = (r_1/r_2) e^{j(\theta_1 - \theta_2)}$

$|A \cdot B| = |A| \cdot |B|, \angle(A \cdot B) = \angle A + \angle B$

$z^n = r^n e^{jn\theta} = r^n (\cos \theta + j \sin \theta)^n = r^n (\cos n\theta + j \sin n\theta)$

$z_k = \sqrt[n]{z} = \sqrt[n]{r e^{j\theta}} = \sqrt[n]{r} e^{j(\theta + 2\pi k)/N}, k = 0, 1, \dots, N - 1$

Trigonometric functions:

$1^\circ = \pi/180 \text{ radians} \approx 0.01745 \text{ rad}, 1 \text{ rad} = 180^\circ/\pi \approx 57.30^\circ$

$\text{sinc}(\theta) = \sin(\pi\theta)/(\pi\theta)$

$\sin(\theta)/\theta \rightarrow 1, \text{ when } \theta \rightarrow 0; \text{sinc}(\theta) \rightarrow 1, \text{ when } \theta \rightarrow 0$

$\cos^2(\theta) + \sin^2(\theta) = 1$

$\sin(\theta) = \theta - \frac{\theta^3}{3!} + \frac{\theta^5}{5!} - \dots + (-1)^n \frac{\theta^{2n+1}}{(2n+1)!} + \dots$ (Taylor)

$\cos(\theta) = 1 - \frac{\theta^2}{2!} + \frac{\theta^4}{4!} - \dots + (-1)^n \frac{\theta^{2n}}{(2n)!} + \dots$ (Taylor)

θ	0	$\pi/6$	$\pi/4$	$\pi/3$
$\sin(\theta)$	0	0.5	$\sqrt{2}/2$	$\sqrt{3}/2$
$\cos(\theta)$	1	$\sqrt{3}/2$	$\sqrt{2}/2$	0.5

θ	$\pi/2$	$3\pi/4$	π	$5\pi/4$
$\sin(\theta)$	1	$\sqrt{2}/2$	0	-1
$\cos(\theta)$	0	$-\sqrt{2}/2$	-1	0

$\pi \approx 3.1416, \sqrt{3}/2 \approx 0.8660, \sqrt{2}/2 \approx 0.7071$

Geometric series:

$\sum_{n=0}^{+\infty} a^n = \frac{1}{1-a}, |a| < 1$

$\sum_{n=0}^N a^n = \frac{1-a^{N+1}}{1-a}, |a| < 1$

Continuous-time unit step and unit impulse fun.:

$\mu(t) = \begin{cases} 1, & t > 0 \\ 0, & t < 0 \end{cases}$

$\delta_\Delta(t) = \frac{1}{\Delta} \mu_\Delta(t), \delta(t) = \lim_{\Delta \rightarrow 0} \delta_\Delta(t)$ (Dirac's delta)

$\int_{-\infty}^{+\infty} \delta(t) dt = 1$

$\int_{-\infty}^{+\infty} \delta(t - t_0) x(t) dt = x(t_0)$

In DSP notation $2\pi\delta(t)$ is computed $2\pi \int \delta(t) \cdot 1 dt = 2\pi$, when $t = 0$, and = 0 elsewhere.

Discrete-time unit impulse and unit step functions:

$\delta[n] = \begin{cases} 1, & n = 0 \\ 0, & n \neq 0 \end{cases} \quad \mu[n] = \begin{cases} 1, & n \geq 0 \\ 0, & n < 0 \end{cases}$

E.g. $x[n] = 2\delta[n+1] + \delta[n] - \delta[n-1] = \{2, 1, -1\}$, $x[-1] = 2, x[0] = 1, x[1] = -1$.

Periodic signals

$\exists T \in \mathbb{R} : x(t) = x(t+T), \forall t \in \mathbb{R}$

$\exists N \in \mathbb{Z} : x[n] = x[n+N], \forall n \in \mathbb{Z}$

Fundamental period T_0, N_0 is the smallest $T > 0, N > 0$.

Convolution

Convolution is commutative, associative and distributive.

$y(t) = h(t) \otimes x(t) = \int_{-\infty}^{+\infty} h(\tau)x(t-\tau) d\tau$

$y[n] = h[n] \otimes x[n] = \sum_{k=-\infty}^{+\infty} h[k]x[n-k]$

$y_C[n] = h[n] \otimes_N x[n] = \sum_{k=0}^{N-1} h[k]x[n-k]$

Correlation:

$r_{xy}[l] = \sum_{n=-\infty}^{+\infty} x[n]y[n-l] = x[l] \otimes y[-l]$

$r_{xx}[l] = \sum_{n=-\infty}^{+\infty} x[n]x[n-l]$

Mean and variance of random signal:

$m_X = E[X] = \int xp_X(x)dx$

$\sigma_X^2 = \int (x - m_X)^2 p_X(x)dx = E[X^2] - m_X^2$

Frequencies, angular frequencies, periods:

Here f_s (also f_T later) is the sampling frequency.

Frequency $f, [f] = \text{Hz} = 1/\text{s}$.

Angular frequency $\Omega = 2\pi f = 2\pi/T, [\Omega] = \text{rad/s}$ (analog).

Normalized angular frequency $\omega = 2\pi\Omega/\Omega_s = 2\pi f/f_s, [\omega] = \text{rad/sample}$ (digital).

Normalized frequency in Matlab $f_{MATLAB} = 2f/f_s, [f_{MATLAB}] = 1/\text{sample}$.

Sampling of $x_a(t)$ by sampling frequency f_T

$x_p[n] = x_a(nT) = x_a(n/f_T)$

$X_p(j\Omega) = \frac{1}{T} \sum_{k=-\infty}^{+\infty} X_a(j(\Omega - k\Omega_T))$

Integral transforms. Properties

Here all integral transforms share some basic properties. Examples given with CTFT, $x[n] \leftrightarrow X(e^{j\omega}), x_1[n] \leftrightarrow X_1(e^{j\omega})$, and $x_2[n] \leftrightarrow X_2(e^{j\omega})$ are time-domain signals with corresponding transform-domain spectra. a and b are constants.

Linearity. All transforms are linear.

$ax_1[n] + bx_2[n] \leftrightarrow aX_1(e^{j\omega}) + bX_2(e^{j\omega})$

Time-shifting. There is a kernel term in transform, e.g.,

$x[n-k] \leftrightarrow e^{-jk\omega} X(e^{j\omega})$

Frequency-shifting. There is a kernel term in signal e.g.,

$e^{j\omega_k n} x[n] \leftrightarrow X(e^{j(\omega-\omega_k)})$

Conjugate symmetry $x^*[n] \leftrightarrow X^*(e^{-j\omega})$. If $x[n] \in \mathbb{R}$, then $X(e^{j\omega}) = X^*(e^{-j\omega}), |X(e^{j\omega})| = |X(e^{-j\omega})|, \angle X(e^{j\omega}) = -\angle X(e^{-j\omega})$. If $x[n] \in \mathbb{R}$ and even, then $X(e^{j\omega}) \in \mathbb{R}$ and even. If $x[n] \in \mathbb{R}$ and odd, then $X(e^{j\omega})$ purely $\in \mathbb{C}$ and odd.

Time reversal. Transform variable is reversed, e.g.,

$x[-n] \leftrightarrow X(e^{-j\omega})$

Differentiation. In time and frequency domain, e.g.,

$x[n] - x[n-1] \leftrightarrow (1 - e^{-j\omega})X(e^{j\omega}), nx[n] \leftrightarrow j \frac{d}{d\omega} X(e^{j\omega})$

Duality. Convolution property: convolution in time domain corresponds multiplication in transform domain $x_1[n] \otimes x_2[n] \leftrightarrow X_1(e^{j\omega}) \cdot X_2(e^{j\omega})$ and multiplication property, vice versa, $x_1[n] \cdot x_2[n] \leftrightarrow \frac{1}{2\pi} \int_{2\pi} X_1(e^{j\theta}) X_2(e^{j(\omega-\theta)}) d\theta$

Parseval's relation. Energy in signal and spectral components: $\sum |x[n]|^2 = \frac{1}{2\pi} \int_{2\pi} |X(e^{j\omega})|^2 d\omega$

Fourier series of continuous-time periodic signals:

$x(t) = \sum_{k=-\infty}^{+\infty} a_k e^{jk\Omega_0 t}$ (synthesis)

$a_k = \frac{1}{T} \int_T x(t) e^{-jk\Omega_0 t} dt$ (analysis)

$x(t - t_0) \leftrightarrow a_k e^{jk\Omega_0 t_0}$

$e^{jM\Omega_0 t} x(t) \leftrightarrow a_{k-M}$

$\int_T x_a(\tau) x_b(t - \tau) d\tau \leftrightarrow T a_k b_k$

$x_a(t) x_b(t) \leftrightarrow \sum_l a_l b_{k-l}$

$\frac{d}{dt} x(t) \leftrightarrow jk\Omega_0 a_k$

Continuous-time Fourier-transform (CTFT):

$x(t) = \frac{1}{2\pi} \int_{-\infty}^{+\infty} X(j\Omega) e^{j\Omega t} d\Omega$ (synthesis)

$X(j\Omega) = \int_{-\infty}^{+\infty} x(t) e^{-j\Omega t} dt$ (analysis)

$x(t - t_k) \leftrightarrow e^{-j\Omega t_k} X(j\Omega)$

$e^{j\Omega_k t} x(t) \leftrightarrow X(j(\Omega - \Omega_k))$

$$\begin{aligned}
 x_a(t) \otimes x_b(t) &\leftrightarrow X_a(j\Omega)X_b(j\Omega) \\
 x_a(t)x_b(t) &\leftrightarrow \frac{1}{2\pi} X_a(j\Omega) \otimes X_b(j\Omega) \\
 \frac{d}{dt}x(t) &\leftrightarrow j\Omega X(j\Omega) \\
 tx(t) &\leftrightarrow j \frac{d}{d\Omega} X(j\Omega) \\
 e^{j\Omega_0 t} &\leftrightarrow 2\pi\delta(\Omega - \Omega_0) \\
 \cos(\Omega_0 t) &\leftrightarrow \pi[\delta(\Omega - \Omega_0) + \delta(\Omega + \Omega_0)] \\
 \sin(\Omega_0 t) &\leftrightarrow j\pi[\delta(\Omega + \Omega_0) - \delta(\Omega - \Omega_0)] \\
 x(t) = 1 &\leftrightarrow 2\pi\delta(\Omega) \\
 x(t) = \begin{cases} 1, & |t| < T_1 \\ 0, & |t| > T_1 \end{cases} &\leftrightarrow \frac{2\sin(\Omega T_1)}{\Omega}
 \end{aligned}$$

$$\begin{aligned}
 \frac{\sin(Wt)}{\pi t} &\leftrightarrow X(j\Omega) = \begin{cases} 1, & |\Omega| < W \\ 0, & |\Omega| > W \end{cases} \\
 \delta(t) &\leftrightarrow 1 \\
 \delta(t - t_k) &\leftrightarrow e^{j\Omega t_k} \\
 e^{-at}\mu(t) &\leftrightarrow \frac{1}{a+j\Omega}, \text{ where } \text{Real}\{a\} > 0
 \end{aligned}$$

Discrete-time Fourier-transform (DTFT):

$$\begin{aligned}
 x[n] &= \frac{1}{2\pi} \int_{-\pi}^{\pi} X(e^{j\omega}) e^{j\omega n} d\omega \text{ (synthesis)} \\
 X(e^{j\omega}) &= \sum_{n=-\infty}^{\infty} x[n] e^{-j\omega n}, \text{ periodic with } 2\pi \text{ (analysis)} \\
 x[n - k] &\leftrightarrow e^{-jk\omega} X(e^{j\omega}) \\
 e^{j\omega_k n} x[n] &\leftrightarrow X(e^{j(\omega - \omega_k)}) \\
 x_1[n] \otimes x_2[n] &\leftrightarrow X_1(e^{j\omega}) \cdot X_2(e^{j\omega}) \\
 x_1[n] \cdot x_2[n] &\leftrightarrow \frac{1}{2\pi} \int_{-\pi}^{\pi} X_1(e^{j\theta}) X_2(e^{j(\omega - \theta)}) d\theta \\
 nx[n] &\leftrightarrow j \frac{d}{d\omega} X(e^{j\omega}) \\
 e^{j\omega_0 n} &\leftrightarrow 2\pi \sum_l \delta(\omega - \omega_0 - 2\pi l) \\
 \cos(\omega_0 n) &\leftrightarrow \pi \sum_l [\delta(\omega - \omega_0 - 2\pi l) + \delta(\omega + \omega_0 - 2\pi l)] \\
 \sin(\omega_0 n) &\leftrightarrow j\pi \sum_l [\delta(\omega + \omega_0 - 2\pi l) - \delta(\omega - \omega_0 - 2\pi l)] \\
 x[n] = 1 &\leftrightarrow 2\pi \sum_l \delta(\omega - 2\pi l) \\
 x[n] = \begin{cases} 1, & |n| \leq N_1 \\ 0, & |n| > N_1 \end{cases} &\leftrightarrow \frac{\sin(\omega(N_1+0.5))}{\sin(\omega/2)}
 \end{aligned}$$

$$\frac{\sin(Wn)}{\pi n} = \frac{W}{\pi} \text{sinc}\left(\frac{Wn}{\pi}\right) \leftrightarrow X(e^{j\omega}) = \begin{cases} 1, & 0 \leq |\omega| \leq W \\ 0, & W < |\omega| \leq \pi \end{cases}$$

$$\begin{aligned}
 \delta[n] &\leftrightarrow 1 \\
 \delta[n - k] &\leftrightarrow e^{-jk\omega} \\
 a^n \mu[n] &\leftrightarrow \frac{1}{1 - ae^{-j\omega}}, \quad |a| < 1
 \end{aligned}$$

N-point Discrete Fourier-transform (DFT):

Connection to DTFT: $X[k] = X(e^{j\omega})|_{\omega=2\pi k/N}$

$$\begin{aligned}
 W_N &= e^{-j2\pi/N} \\
 x[n] &= \frac{1}{N} \sum_{k=0}^{N-1} X[k] W_N^{-kn}, \quad 0 \leq n \leq N-1 \text{ (synthesis)} \\
 X[k] &= \sum_{n=0}^{N-1} x[n] W_N^{kn}, \quad 0 \leq k \leq N-1 \text{ (analysis)} \\
 x[< n - n_0 > N] &\leftrightarrow W_N^{-kn_0} X[k] \\
 W_N^{-kn_0} x[n] &\leftrightarrow X[< k - k_0 > N] \\
 y_C[n] = h[n] \otimes x[n] &\leftrightarrow H[k] \cdot X[k] = Y[k]
 \end{aligned}$$

Laplace transform:

Convergence with a certain ROC (region of convergence).
 Connection to continuous-time Fourier-transform: $s = j\Omega$

$$\begin{aligned}
 x(t) &= \frac{1}{2\pi j} \int_{\sigma-j\infty}^{\sigma+j\infty} X(s) e^{st} ds \text{ (synthesis)} \\
 X(s) &= \int_{-\infty}^{\infty} x(t) e^{-st} dt \text{ (analysis)}
 \end{aligned}$$

z-transform:

Convergence with a certain ROC (region of convergence).
 Connection to discrete-time Fourier-transform: $z = e^{j\omega}$

$$\begin{aligned}
 x[n] &= \frac{1}{2\pi j} \oint_C X(z) z^{n-1} dz, \quad C \text{ in ROC of } X(z) \text{ (synthesis)} \\
 X(z) &= \sum_{n=-\infty}^{\infty} x[n] z^{-n} \text{ (analysis)} \\
 x[n - k] &\leftrightarrow z^{-k} X(z) \\
 x_1[n] \otimes x_2[n] &\leftrightarrow X_1(z) \cdot X_2(z) \\
 \delta[n] &\leftrightarrow 1, \quad \text{ROC all } z \\
 \delta[n - k] &\leftrightarrow z^{-k}, \quad \text{all } z, \text{ except } 0 (k > 0) \text{ or } \infty (k < 0) \\
 \mu[n] &\leftrightarrow \frac{1}{1 - z^{-1}}, \quad |z| > 1 \\
 -\mu[-n - 1] &\leftrightarrow \frac{1}{1 - z^{-1}}, \quad |z| < 1 \\
 a^n \mu[n] &\leftrightarrow \frac{1}{1 - az^{-1}}, \quad |z| > |a|
 \end{aligned}$$

$$\begin{aligned}
 na^n \mu[n] &\leftrightarrow \frac{az^{-1}}{(1 - az^{-1})^2}, \quad |z| > |a| \\
 (n+1)a^n \mu[n] &\leftrightarrow \frac{1}{(1 - az^{-1})^2}, \quad |z| > |a| \\
 r^n \cos(\omega_0 n) \mu[n] &\leftrightarrow \frac{1 - r \cos(\omega_0) z^{-1}}{1 - 2r \cos(\omega_0) z^{-1} + r^2 z^{-2}}, \quad |z| > |r| \\
 r^n \sin(\omega_0 n) \mu[n] &\leftrightarrow \frac{r \sin(\omega_0) z^{-1}}{1 - 2r \cos(\omega_0) z^{-1} + r^2 z^{-2}}, \quad |z| > |r|
 \end{aligned}$$

LTI filter analysis

Stability $\sum_n |h[n]| < \infty$; unit circle belongs to ROC
Causality $h[n] = 0, n < 0$; ∞ belongs to ROC
Unit step response $s[n] = \sum_{k=-\infty}^n h[k]$
Causal transfer function of order $\max\{M, N\}$:
 $H(z) = B(z)/A(z) = K \cdot \frac{\sum_{m=0}^M b_m z^{-m}}{\sum_{n=0}^N a_n z^{-n}} = G \cdot \frac{\prod_{m=1}^M (1 - d_m z^{-1})}{\prod_{n=1}^N (1 - p_n z^{-1})}$
 Zeros d_m : $B(z) = 0$; Poles p_n : $A(z) = 0$
Frequency, magnitude/amplitude, phase response, $z \leftarrow e^{j\omega}$
 $H(e^{j\omega}) = |H(e^{j\omega})| e^{j\angle H(e^{j\omega})}$
 $H(e^{j\omega}) = H(z)|_{z=e^{j\omega}}$
 $H[k] = H(e^{j\omega})|_{\omega=2\pi k/N}$
Group delay $\tau(\omega) = -\frac{d}{d\omega} \angle H(e^{j\omega})$
Four types of linear-phase FIR filters, $h[n] = h[N - 1 - n]$ (even/odd symmetric), or $h[n] = -h[N - 1 - n]$ (e/o antis.).
 Zeros symmetric w.r.t. unit circle: $r e^{\pm j\theta}$ and $(1/r) e^{\mp j\theta}$.
Important transform pairs and properties:
 $a \delta[n - k] \leftrightarrow a e^{-jk\omega} \leftrightarrow a z^{-k}$
 $a^n \mu[n] \leftrightarrow 1/[1 - a e^{-j\omega}] \leftrightarrow 1/[1 - a z^{-1}]$
 $h[n] = \sum_i (k_i \cdot a_i^n \mu[n]) \leftrightarrow H(e^{j\omega}) = \dots$
 $\dots \sum_i (k_i/[1 - a_i e^{-j\omega}]) \leftrightarrow H(z) = \sum_i (k_i/[1 - a_i z^{-1}])$
 $a x[n - k] \leftrightarrow a e^{-jk\omega} X(e^{j\omega}) \leftrightarrow a z^{-k} X(z)$
 $y[n] = h[n] \otimes x[n] \leftrightarrow Y(z) = H(z) \cdot X(z)$
 rectangular \leftrightarrow sinc, sinc \leftrightarrow rectangular

LTI filter design (synthesis)

Bilinear transform $H(z) = H(s)|_s$ and *prewarping*
 $s = k \cdot (1 - z^{-1})/(1 + z^{-1})$, $k = 1$ or $k = 2/T = 2f_T$
 $\Omega_{\text{prewarp},c} = k \cdot \tan(\omega_c/2)$, $k = 1$ or $k = 2/T = 2f_T$
Spectral transformations, $\hat{\omega}_c$ desired cut-off
 LP-LP $z^{-1} = (\hat{z}^{-1} - \alpha)/(1 - \alpha \hat{z}^{-1})$, where $\alpha = \sin(0.5(\omega_c - \hat{\omega}_c))/\sin(0.5(\omega_c + \hat{\omega}_c))$
 LP-HP $z^{-1} = -(\hat{z}^{-1} + \alpha)/(1 + \alpha \hat{z}^{-1})$, where $\alpha = -\cos(0.5(\omega_c + \hat{\omega}_c))/\cos(0.5(\omega_c - \hat{\omega}_c))$
Windowed Fourier series method
 $H(e^{j\omega}) = \begin{cases} 1, & |\omega| < \omega_c \\ 0, & |\omega| \geq \omega_c \end{cases} \leftrightarrow h[n] = \frac{\sin(\omega_c n)}{\pi n} = \frac{\omega_c}{\pi} \text{sinc}\left(\frac{\omega_c n}{\pi}\right)$
 $h_{\text{FIR}}[n] = h_{\text{ideal}}[n] \cdot w[n]$
 $H_{\text{FIR}}(e^{j\omega}) = \frac{1}{2\pi} \int_{-\pi}^{\pi} H_{\text{ideal}}(e^{j\theta}) W(e^{j(\omega - \theta)}) d\theta$
Fixed window functions, order $N = 2M, -M \leq n \leq M$:
 Rectangular $w[n] = 1$
 Hamming $w[n] = 0.54 + 0.46 \cos((2\pi n)/(2M))$
 Hann $w[n] = 0.5 \cdot (1 + \cos((2\pi n)/(2M)))$
 Blackman $w[n] = 0.42 + 0.5 \cos(\frac{2\pi n}{2M}) + 0.08 \cos(\frac{4\pi n}{2M})$
 Bartlett $w[n] = 1 - (|n|/M)$

Implementation

Radix-2 DIT FFT butterfly equations

$$\begin{cases} \Psi_{r+1}[\alpha] &= \Psi_r[\alpha] + W_N^L \Psi_r[\beta] \\ \Psi_{r+1}[\beta] &= \Psi_r[\alpha] - W_N^L \Psi_r[\beta] \end{cases}$$

Multirate systems

Upsampling (interpolation) with factor L, $\boxed{\uparrow L}$

$$x_u[n] = \begin{cases} x[n/L], & n = 0, \pm L, \pm 2L, \dots \\ x_u[n] = 0, & \text{otherwise} \end{cases}$$

$$X_u(z) = X(z^L), \quad X_u(e^{j\omega}) = X(e^{j\omega L})$$

Downsampling (decimation) with factor M, $\boxed{\downarrow M}$

$$\begin{aligned}
 x_d[n] &= x[nM] \\
 X_d(z) &= (1/M) \sum_{k=0}^{M-1} X(z^{1/M} W_N^{-k}) \\
 X_d(e^{j\omega}) &= (1/M) \sum_{k=0}^{M-1} X(e^{j(\omega - 2\pi k)/M})
 \end{aligned}$$

Oikeat vastaukset:

- 1.1: CD
- 1.2: D
- 1.3: D
- 1.4: B
- 1.5: D
- 1.6: C
- 1.7: A
- 1.8: A
- 1.9: C
- 1.10: C
- 1.11: C
- 1.12: A

Kommentteja:

1.4: (B) $y[n] = 0.1 y[n-1] - 0.2 y[n-2] + \dots$

1.5: (D) Poles $\pm 0.9 j \Rightarrow$ bandpass filter at $\pi/2$

1.10: (C) $[1 \ 1] * [1 \ 1] \Rightarrow [1 \ 2 \ 1]$, $[1 \ 2 \ 1] * [1 \ 1] \Rightarrow [1 \ 3 \ 3 \ 1]$...
binomial coefficients, Pascals triangle $[1 \ 6 \ 15 \ 20 \ 15 \ 6 \ 1]$

1.12: $h[n]$ is not symmetric, cannot be (D)